

用离子技术合成类金刚石薄膜

郭 华 联

(四川大学原子核科学技术研究所)

用离子技术合成的类金刚石碳膜(i-C膜)具有一系列优良的性能:高的绝缘性,电阻率为 10^7 — 10^{14} $\Omega \cdot \text{cm}$,电导率有负的温度系数(10^{-2} — 10^{-4} $^\circ\text{C}^{-1}$);高的介电强度,击穿电压约 10^6 $\text{V} \cdot \text{cm}^{-1}$,介电常数为8—12;较高的硬度,显微硬度高于 3000 kg/mm^2 ;较好的光学透射性,有大的光带隙(1—2.6eV),可以掺杂成n型或p型材料;对酸和有机溶液呈化学惰性;折射率为2.2—2.8,密度约为 2 g/cm^3 ^[1].

i-C膜已有一些初步的应用,但由于膜中的内应力较大,不能合成较厚的膜,影响大规模应用。国外在这方面的研究十分活跃,日本将它列为100项(其中材料占13项)开发中的核心技术之一。下面对类金刚石碳膜的合成方法、性能、形成机理和应用前景作一简单介绍。

一、类金刚石碳膜的合成方法

1. 离子活化法

(1) 离子镀

把碳氢化合物(如 CH_4 , C_2H_2 , C_3H_4 , C_4H_{10} , C_6H_6 等)气体通入真空中,在阴极发射的电子和阳极施加的电压的作用下使气体离解,在底衬偏压的作用下,使碳离子沉积在底衬上,形成i-C膜。相应的离子能量约为100—250 eV,沉积率约 600 \AA/min ^[2]这一过程叫做离子镀。

有人把磁场用在离子镀上,图1是所用装置简图。在真空中通入 CH_4 ,气压为0.1 Torr。用硅、锗、玻璃和金属作底衬,底衬温度为200—400°C,底衬偏压为0—1 kV可调。灯丝电流为26 A,放电电流为0.1—0.5 A可调,磁场为0—500 G可调。

用红外吸收光谱和次级离子质量分析确定膜中含有 C_x , CH_x 组成的类金刚石微晶(约10 nm)。用X射线光电子谱测定i-C膜的结合能为287.16 eV(金刚石的结合能为287.28 eV)。由透射电子衍射测量到i-C膜的面间距和金刚石几乎完全一样^[3,4]。

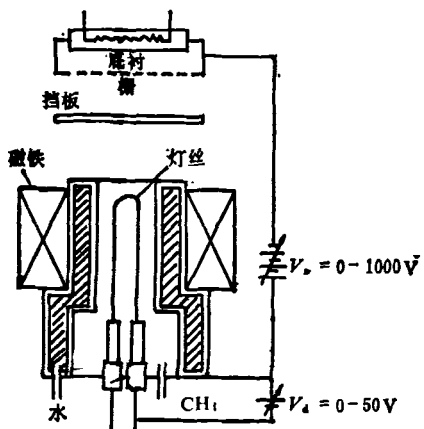


图1 加上磁场的离子镀装置

(2) 高频或磁控等离子体分解

在高频电场或直流磁场作用下,使碳氢化合物分子离解,在加偏压的底衬上生成i-C膜。用透射电镜对膜的结构进行研究,发现这些膜主要是无定形结构,但其中含有多晶和单晶金刚石结构微粒,并有几个不同的晶相,格点常数 a_0 从 3.96 \AA 到 4.28 \AA 变化(立方金刚石 $a_0 = 3.57 \text{ \AA}$)。测量到的i-C膜面间距值和金刚石很相近^[5-7]。

2. 离子束沉积法

(1) 离子束溅射沉积

图2表示离子束溅射沉积装置。用 Ar 离子轰击石墨靶,溅射出来的碳离子沉积在底衬

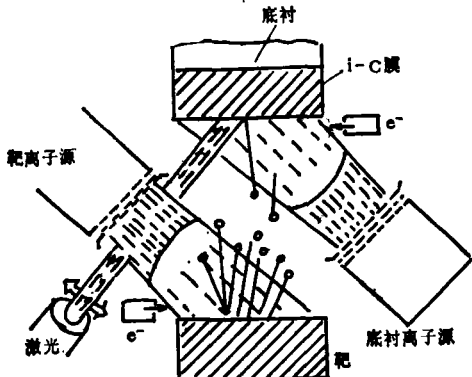


图 2 离子束溅射沉积装置简图

上,生成 i-C 膜。可以有几种工作方式: (i) 单束溅射: 用一个 Ar 离子源轰击石墨靶。(ii) 双束溅射: 靶离子源为 4—10 keV, 10 mA 的 Ar 离子源, 底衬离子源是 0.6—1 keV, 3—5mA 的 Ar 离子源。它们分别用来轰击靶和底衬(实验中用 90% CH₄ 和 10% Ar 来代替纯 Ar 时的效果更好一些), 沉积率约 1 nm/min。电子枪用来使离子中性化, 激光束用来改善膜的结构和内应力。(iii) 用激光代替靶离子源, 加上底衬离子源进行双束溅射。从电子衍射图中发现膜中有约 10 nm 直径的金刚石微晶, 并有几种立方结构存在, 晶格常数 a_0 分别为 0.358, 0.383, 0.397, 0.530 nm^[6,8,9]。

(2) 离子束沉积法

1971 年, 美国 Aisenberg 首次用 40 eV 碳离子直接打到底衬上生成 i-C 膜^[10]。后来, 美国贝尔实验室的 Spencer^[11] 英国 AERE 的 Freeman^[12], 苏联哈尔科夫技术物理研究所的 Akcehob^[13] 等人都用离子束直接生成 i-C 膜。东德卡尔·马克思技术大学的 Weissmantel 还发展了一种共轴溅射碳离子源, 产生 80—240 mA 的离子流, 比双束溅射的沉积率高一个数量级^[1]。由电子衍射观察到这些膜含有 50—100 Å 的单晶金刚石结构微粒。

二、类金刚石碳膜的性能

1. 机械性能

物理

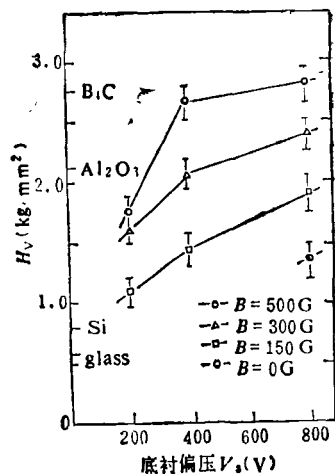


图 3 i-C 膜硬度和底衬偏压的关系
(底衬温度 400°C)

有较高的硬度,一般为 3000 kg/mm², 最高达到 6000 kg/mm², 这与膜的生成条件有关,如图 3 所示。图 3 是用离子活化法生成的膜, 厚度为 2 μm, 底衬温度为 400°C, 对不同的轴向磁场值进行测量。从图 3 可看到膜的硬度随磁场很快增加, 随偏压缓慢增加, 硬度超过蓝宝石 (Al_2O_3), 达到 B₄C 的硬度, 约 3000 kg/mm²^[3]。膜有很好的化学惰性, 不溶于无机酸和有机溶剂。有良好耐磨损和耐摩擦性能。约 2 μm 厚的 i-C 膜是钢铁的良好保护层。有人做过试验, 在同样条件下, 镀有 8.5 μm i-C 膜的硬质合金样品的磨损, 只为没镀样品的 15%^[1]。

2. 光学性能

i-C 膜的折射率为 2—2.8, 红外透射性能较好, 光带隙为 1—2.6 eV。非晶硅 (a-Si:H) 膜的光带隙为 1.8 eV, 这表示有更多的光可以到达 i-C 膜的本征区, 可以提高光电转换效率, 适合于作太阳能电池材料^[14]。

3. 电性能

膜具有很高的电阻率 ($10^7 \sim 10^{14} \Omega \cdot \text{cm}$), 这与生成条件有关。在低的底衬偏压和低的温度时, 生成膜的电阻率最高。电导率有负的温度系数 ($10^{-3} \sim 10^{-4} \text{ }^\circ\text{C}^{-1}$), 介电常数为 8—12, 击穿电压约为 $10^6 \text{ V} \cdot \text{cm}^{-1}$ 。可以掺杂形成 p 型或 n 型材料^[1,3,15]。

三、膜的形成机理

能量为 $10^2 \sim 10^3$ eV 的粒子，入射到底衬或生长膜表面时，在慢化过程中，在一很小体积内，把能量和动量传给邻近的原子，使一些原子产生位移。这种强的局部激发事件称作“热钉”(thermal spike)。根据“热钉”理论，低能离子入射到固体表面，在时间 t 后，在距离 r 范围内的温度 T 为

$$T = \frac{E}{8(\pi K t)^{1/2}} (C\rho)^{1/2} \exp\left(-\frac{C\rho r^2}{4Kt}\right),$$

E 是入射离子提供的能量， K 是膜或底衬的导热率， C 是定容比热， ρ 是密度。对立方金刚石进行计算： $E = 100$ eV，半径为 0.75 nm 的区域内，至少达到熔点温度 $T_0 = 3823$ K，压力可以达到 $P = 1.3 \times 10^{10}$ Pa $\approx 1.2 \times 10^3$ atm。在这个小体积内，形成了高温高压合成金刚石微粒的条件。“热钉”的寿命约为 $10^{-12} \sim 10^{-11}$ s。由于“热钉”的迅速崩溃，在小范围内造成一个极高的淬火率(约 10^{14} K/s)，再加上强的离子束混合过程，促进了 i-C 膜的生长^[6]。

四、应用前景

用 600 \AA i-C 膜作太阳能电池抗反膜后，使短路电流比原来增加 40%，效率由 6.57% 提高到 8.77%^[14]。用 4000 \AA i-C 膜镀在工业缝纫机旋梭上($7000 \sim 10000$ 转/min)，可以不用油润滑并减少磨损。用 400 \AA i-C 膜镀在磁头上作保护层。用作大功率激光装置的保护膜^[17]。

有人预测不久会实现用 i-C 膜制作的半导体器件。总之，在机械、电子和光学部门，都可能有实际的应用。

用离子技术合成新材料是一种很有前途的新方法。在 i-C 膜之后，又合成了类似立方氮化硼的 i-BN 膜，并准备对 AlN, Si₃N₄, SiC, BC 等材料进行研究，以深入了解这类亚稳态材料的形成机理，改善制备方法，提高膜的质量，使其在科技和生产中能得到大规模的应用。

参 考 文 献

- [1] C. Weissmantel et al., *Thin Solid Films*, **96** (1982), 31.
- [2] C. Weissmantel et al., *ibid*, **72** (1980), 19.
- [3] 熊田 忠貞等, 真空, **25**(1982), 228.
- [4] 長田義仁, 化学と工業, **36**(1983), 759.
- [5] D. S. Whitmell and R. Williamson, *Thin Solid Films*, **35** (1976), 255.
- [6] C. Weissmantel et al., Proc. Int. Conf. on Low Energy Ion Beam, in Inst. Phys. Conf. Ser., **54** (1980), 188.
- [7] C. Weissmantel et al., *Thin Solid Films*, **72** (1980), 19.
- [8] T. J. Moravec and T. W. Orent, *J. Vac. Sci. Technol.*, **18**(1981), 226.
- [9] S. Fujimori et al., *Thin Solid Films*, **92** (1982), 71.
- [10] S. Aisenberg and R. Chabot, *J. Appl. Phys.*, **42** (1971), 2953.
- [11] E. G. Spencer et al., *Appl. Phys. Lett.*, **29** (1976), 118.
- [12] J. H. Freeman et al., *Nature*, **275** (1978), 634.
- [13] И. И. Аксенов, *ЖТФ*, **50** (1981), 2000.
- [14] I. Watanabe, *Jpn. J. Appl. Phys.*, **21** (1982), 856.
- [15] B. Meyerson and F. W. Smith, *Solid. Stat. Comm.*, **41** (1982), 23.
- [16] T. J. Moravec, *J. Vac. Sci. Technol.*, **20** (1982), 338.
- [17] J. Zelez, *RCA Review*, **43** (1982), 665.